

УГЛОЧАСТОТНЫЕ ХАРАКТЕРИСТИКИ КАНАЛОВ МНОГОЛУЧЕВОЙ АНТЕННОЙ РЕШЕТКИ С СУММАРНО- РАЗНОСТНОЙ ОБРАБОТКОЙ И ПРОСТРАНСТВЕННОЙ КОМПЕНСАЦИЕЙ ПОМЕХ

Ш.А. Каирхан, С.В. Козлов

Белорусский государственный университет информатики и радиоэлектроники (БГУИР), Минск, Беларусь

Аннотация. С использованием математического моделирования исследованы углочастотные характеристики каналов и точность пеленгования полезных сигналов в адаптивных многолучевых антенных решетках (АМЛАР) с пространственной компенсацией помех и суммарно-разностной обработкой. Показано, что требуемое число формируемых пространственных каналов для АМЛАР примерно в два раза больше, чем в МЛАР без адаптивной обработки. Получено выражение для смещения максимума суммарного и нуля разностного каналов луча от отклонения частоты принимаемого сигнала от опорной, для которой сформированы векторы весовых коэффициентов при пространственной компенсации помех и цифровом диаграммообразовании. Показано, что широкополосность АМЛАР фактически ограничивается величиной отклонения частоты, при которой происходят существенные изменения амплитудной диаграмм направленности приемных элементов.

Ключевые слова: адаптированная диаграмма направленности, алгоритма Фроста, многолучевая антенная решетка, пеленгование, пространственная компенсация помех, суммарно-разностная обработка, широкополосность.

ANGULAR AND FREQUENCY CHARACTERISTICS OF CHANNELS OF A MULTI-BEAM ANTENNA ARRAY WITH SUM-DIFFERENCE PROCESSING AND THE SPATIAL COMPENSATION OF NOISE

Sh. A. Kairhan, S. V. Kozlov

Belarusian state university of informatics and radioelectronics, Minsk, Belarus

Abstract. Using mathematical modeling investigated the angular and frequency characteristics of the channels and the accuracy of direction finding of the useful signal in an adaptive multibeam antenna arrays (AMBAA) with spatial compensation of noise and sum-difference processing. It is shown that the required number of generated spatial channels for AMBAA is approximately twice as large as in MBAA without adaptive processing. An expression is obtained to shift the maximum of the total and zero difference channels of the beam from the deviation of the frequency of the received signal from the reference, for which the vectors of the weighting coefficients are formed at spatial noise compensation and digital diagrams. It is shown that the broadband AMBAA is actually limited by the deviation of the frequency at which there are significant changes in the amplitude diagrams of the direction of the receiving elements..

Keywords: adapted radiation pattern, Frost's algorithm, multibeam antenna array, direction finding, spatial compensation of noise, sum-difference processing, broadband

1. ВВЕДЕНИЕ

В работе [1] предложены технические и алгоритмические решения по созданию адаптивных многолучевых антенных решеток (АМЛАР) средств радиомониторинга (РМ).

Их основой является двухэтапная итерационная процедура, предусматривающая одновременные пространственную компенсацию помех (ПКП) с суммарно-разностной обработкой при формировании направляющего вектора для середины диапазона рабочих частот, оценку частот сигналов в лучах и повторную компенсаций помех с формированием направляющего вектора на основе оценок частот в лучах. В ряде случаев целесообразно отказаться от реализации двухэтапного алгоритма в пользу одноэтапного, предполагающего разделение заданного диапазона частот на ряд поддиапазонов с формированием векторов весовых коэффициентов адаптированных приемных каналов для каждого из поддиапазонов. Для этого необходимо оценить углочастотные характеристики пространственных каналов, формируемых в АМЛАР, и влияние частоты на точность пеленгации источников радиоизлучения (ИРИ). В известной литературе указанные оценки отсутствуют, что и определяет цель настоящей статьи.

2. АЛГОРИТМ ФУНКЦИОНИРОВАНИЯ АМЛАР И МЕТОДИКА ИССЛЕДОВАНИЙ

Рассматривается цифровая, относительно малоэлементная (с числом элементов $N = 8...32$) пеленгационная (в одной плоскости) АМЛАР с ПКП и суммарно-разностной обработкой в соответствии с алгоритмом [1]. Формирование $i = \overline{1, I}$ отсчетов сигналов адаптированных суммарного $\dot{Y}_{\Sigma i}$ и разностного $\dot{Y}_{\Delta i}$ каналов в $\ell = \overline{1, L}$ лучах осуществляется в соответствии с выражением

$$\dot{Y}_{\Sigma(\Delta)i, \ell} = \omega_{\Sigma(\Delta)\ell}^+ \mathbf{y}_i, \quad (1)$$

где $\omega_{\Sigma(\Delta)\ell}$ - векторы весовых коэффициентов (ВВК) адаптированных суммарного (разностного) каналов для ℓ -го луча; $\mathbf{y}_i = \sum_{m=1}^M \dot{U}_{m,i} \mathbf{s}(\alpha_m, f_m) + \boldsymbol{\xi}_i$ - вектор-столбец отсчетов комплексных амплитуд процессов на выходах приемных каналов; $\dot{U}_{m,i}$ - отсчеты комплексных амплитуд $m = \overline{1, M}$ источников радиоизлучения на выходе изотропной приемной антенны; f_m - центральная частота спектра сигнала m -го ИРИ; $\boldsymbol{\xi}_i = (\xi_{1,i}, \xi_{2,i}, \dots, \xi_{N,i})$ - вектор-столбец отсчетов внутренних шумов приемных каналов АМЛАР; $\mathbf{s}(\alpha, f) = (\dot{F}_1(\alpha, f), \dot{F}_2(\alpha, f), \dots, \dot{F}_N(\alpha, f))^T$ - вектор диаграмм направленности приемных элементов на частоте f .

Вычисление ВВК адаптированных суммарного и разностных каналов для каждого луча АМЛАР проводится согласно алгоритма Фроста:

$$\omega_{\Sigma(\Delta)\ell} = \hat{\Phi}^{-1} \mathbf{C}_\ell(f_0) (\mathbf{C}_\ell(f_0)^+ \hat{\Phi}^{-1} \mathbf{C}_\ell(f_0))^{-1} \mathbf{f}_{\Sigma(\Delta)}, \quad (2)$$

где $\hat{\Phi}$ - оценка корреляционной матрицы (КМ) процессов на выходах приемных каналов;

$$\mathbf{C}_\ell(f_0) = \begin{pmatrix} \dot{F}_1(\alpha_{\text{op}\ell} - \delta\alpha_\ell, f_0) & \dot{F}_1(\alpha_{\text{op}\ell}, f_0) & \dot{F}_1(\alpha_{\text{op}\ell} + \delta\alpha_\ell, f_0) \\ \dot{F}_2(\alpha_{\text{op}\ell} - \delta\alpha_\ell, f_0) & \dot{F}_2(\alpha_{\text{op}\ell}, f_0) & \dot{F}_2(\alpha_{\text{op}\ell} + \delta\alpha_\ell, f_0) \\ \dots & \dots & \dots \\ \dot{F}_N(\alpha_{\text{op}\ell} - \delta\alpha_\ell, f_0) & \dot{F}_N(\alpha_{\text{op}\ell}, f_0) & \dot{F}_N(\alpha_{\text{op}\ell} + \delta\alpha_\ell, f_0) \end{pmatrix} \quad (3)$$

- матрица ограничений, составленная из вектор-столбцов значений $\dot{F}_n(\alpha_i^{\text{ogr}}, f_0)$ ДН приемных каналов для $i = \overline{1,3}$ вводимых ограничений, измеренных на частоте f_0 ; $\alpha_{\text{op}\ell}$ - угловое положение максимума ℓ -го луча; $\delta\alpha = \gamma\Delta\alpha_\ell$ - отклонение боковых ограничений от центра луча; $\gamma = 0,1 \dots 0,15$ [2]; $\Delta\alpha$ - ширина луча МЛАР

$$\mathbf{f}_\Sigma = \begin{pmatrix} F_{\Sigma 1} \\ F_{\Sigma 2} \\ F_{\Sigma 3} \end{pmatrix}; \quad \mathbf{f}_\Delta = \begin{pmatrix} F_{\Delta 1} \\ F_{\Delta 2} \\ F_{\Delta 3} \end{pmatrix} \quad (4)$$

- вектор-столбец, элементы которого соответствуют требуемому значению адаптированной ДН суммарного (разностного) каналов в направлениях ограничений. Отметим, что с учетом использования амплитудного суммарно-разностного алгоритма пеленгования компоненты векторов \mathbf{f}_Σ , \mathbf{f}_Δ - действительные величины, а сами вектора могут быть одинаковыми для всех каналов.

Оценки угловых координат ИРИ в каждом луче (канале) АМЛАР формируются по известному алгоритму

$$\alpha_\ell = \frac{1}{\mu} \text{Re} \left(\frac{Y_\Delta^*}{\dot{Y}_\Sigma} \right), \quad (5)$$

где μ - крутизна дискриминационной характеристики.

Дискриминационная характеристика $\psi_\ell(\alpha, f, f_0)$ для ℓ -го канала АМЛАР, представляющая собой зависимость математического ожидания результатов пеленгации полезного сигнала с угловыми координатами в пределах ℓ луча ($\alpha_{\text{op}\ell} - \Delta\alpha_\ell / 2 \leq \alpha_\ell \leq \alpha_{\text{op}\ell} + \Delta\alpha_\ell / 2$) на частоте f в пренебрежении внутренними шумами имеет вид

$$\psi_\ell(\alpha, f, f_0) = \alpha_{\text{op}\ell} + \frac{1}{\mu} \text{Re} \left(\frac{\boldsymbol{\omega}_{\Delta\ell}^T \mathbf{s}^*(\alpha, f)}{\boldsymbol{\omega}_{\Sigma\ell}^+ \mathbf{s}(\alpha, f)} \right), \quad (6)$$

Из-за различий ДН приемных элементов на частоте f входящего в пределах луча сигнала и заложенных в алгоритм адаптации, возникают искажения адаптированных ДН адаптированных суммарного и разностного каналов с соответствующими частотно-зависимыми ошибками пеленгации.

Получение пеленгационной характеристики (6) в явном виде оказывается практически невозможным. Поэтому, для получения углочастотных характеристик лучей АМЛАР использовалось численное моделирование. Для проведения моделирования была разработана математическая модель АМЛАР с пространственной

компенсацией помех и суммарно-разностной обработкой. Модель базируется на соотношениях (1)-(6), дополненных соответствующим выражениями для комплексных ДН приемных элементов АМЛАР как функции угла наблюдения и несущей частоты и расчета требуемых показателей эффективности.

3. РЕЗУЛЬТАТЫ МОДЕЛИРОВАНИЯ

На рис. 1 приведено семейство пеленгационных характеристик АМЛАР с $N=8$ приемными элементами. На рис. 2 приведены семейства зависимостей ошибок пеленгации (а, б) и отношений сигнал/мешающий сигнал+шум (в, г) от угловых координат источника полезного сигнала. Рис. а, в соответствуют МЛАР с числом элементов $N=8$, рис. б, г – $N=16$ при соответствующем числе формируемых лучей, равномерно перекрывающем сектор $\pm 60^\circ$. Зависимости построены для случая наличия ИРИ – источника полезного сигнала с мощностью (на выходе изотропной антенны) 20 дБ по отношению к уровню собственных шумов приемных каналов и более мощного (мешающего) ИРИ. Угловое положение источника полезного сигнала изменялось в пределах ширины луча в пределах $22,5^\circ \pm 7,5^\circ$ для МЛАР с $N=8$ приемными элементами (пятый луч) и $18,75^\circ \pm 3,75^\circ$ для МЛАР с $N=16$ приемными элементами (десятый луч, нумерация лучей от отрицательных значений угла). Угловое положение второго ИРИ было фиксировано и принималось равным 40° при мощности второго ИРИ 40 дБ. Отклонение частоты сигнала первого ИРИ от частоты формирования матрицы ограничений (опорной) составляло 0 % (сплошные кривые), $\pm 2,5\%$ и $\pm 5\%$ (пунктирные кривые для отклонения вверх и штрихпунктирные для отклонения вниз). Частота второго (мешающего) ИРИ соответствовала опорной.

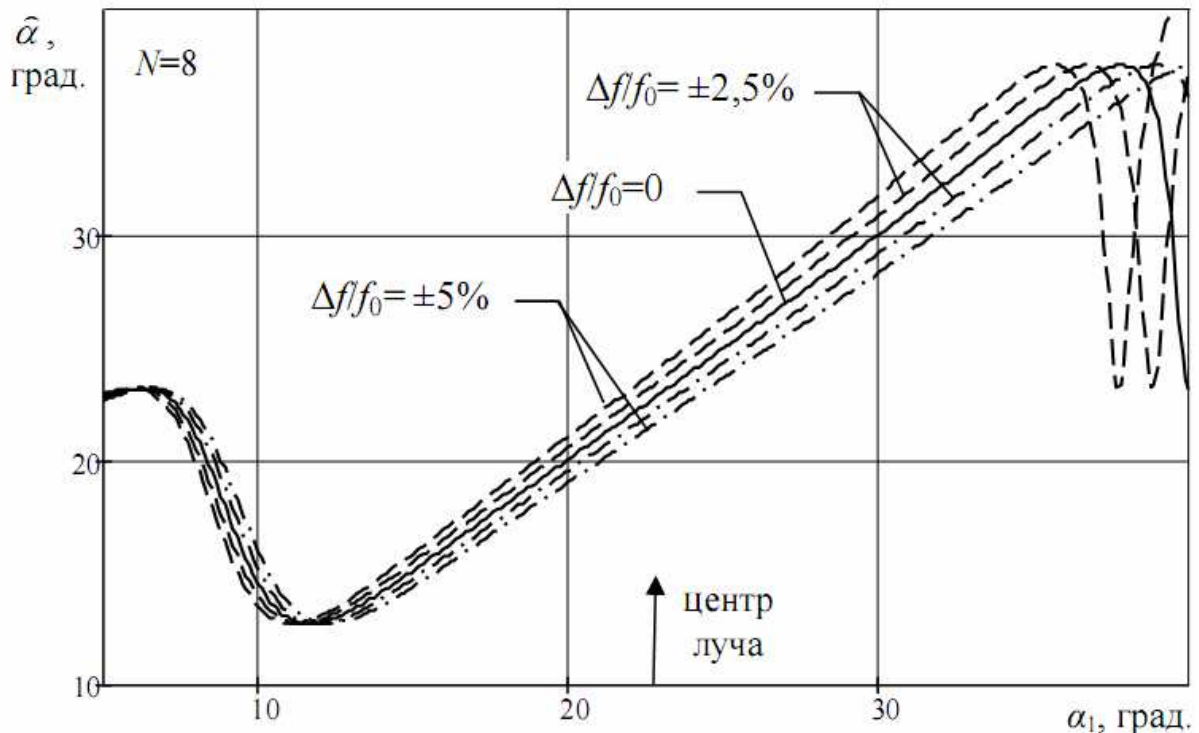


Рис.1. Семейство пеленгационных характеристик для различных значений нормированного отклонения частоты ИРИ от опорной

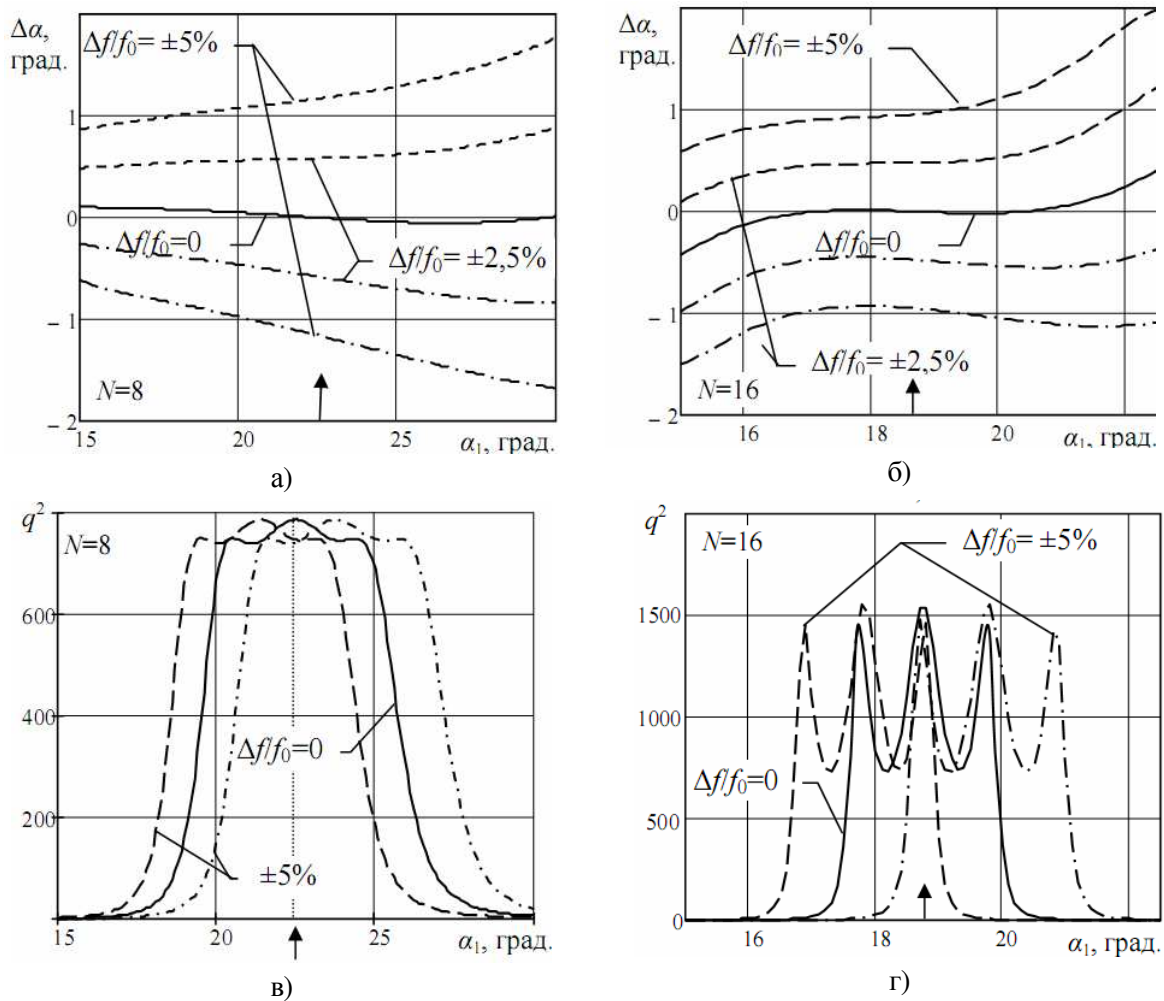


Рис. 2. Зависимости ошибок пеленгации (а, б) и отношения сигнал/мешающий сигнал+шум для АМЛАР с $N=8$ (а, в) и $N=16$ (б, г) приемными элементами

Как видно из рис. 1 и 2а,в, при совпадении частоты сигнала ИРИ и опорной частоты, пеленгационная характеристика имеет вид, близкий к линейному, практически в пределах всей ширины луча МЛАР, а ошибки пеленгации малы в сравнении с шириной луча АМЛАР. Ноль характеристики расположен точно в направлении центра луча. При отклонении частоты сигнала ИРИ от опорной пеленгационная характеристика изменяется: при увеличении (уменьшении) частоты ноль характеристики смещается влево (вправо). Крутизна характеристик практически не изменяется.

Достаточно показательными являются зависимости отношения сигнал/мешающий сигнал+шум от углового положения источника полезного сигнала. Максимум указанной зависимости имеет место в случаях, когда частота ИРИ соответствует опорной, а ИРИ находится в угловых положениях вводимых ограничений. При отклонении углового положения ИРИ от центра луча (центрального ограничения) приблизительно на четверть ширины луча отношение сигнал/мешающий сигнал+шум уменьшается на 3 дБ. Скорость спада отношения сигнал/шум при дальнейшем увеличении угла существенно превышает скорость спада амплитудной ДН луча МЛАР без пространственной компенсации помех.

Определим зависимость ошибок пеленгации (смещения луча) от отклонения частоты ИРИ от опорной. В соответствии с алгоритмом формирования адаптированных суммарного и разностного каналов в каждом луче их значения фиксируются в направлениях ограничений (вектор-столбцы $\mathbf{f}_{\Sigma(\Delta)}$). Для ненаправленных приемных элементов АМЛАР зафиксированные значения, а также элементы матрицы \mathbf{C} , отличаются только фазой. При частоте ИРИ f_{iri} , отличной от опорной f_0 , те же самые матрица \mathbf{C} и векторы $\mathbf{f}_{\Sigma(\Delta)}$ будут получены при угле $\alpha'_{\text{ogr}} = \alpha_{\text{ogr}} - \Delta\alpha_f$, для которого

$$\frac{2\pi}{c} f_0 \sin \alpha_{\text{ogr}} = \frac{2\pi}{c} f_{\text{iri}} \sin(\alpha_{\text{ogr}} - \Delta\alpha_f).$$

Отсюда частное смещение луча $\Delta\alpha_f$ с максимумом в направлении α как функция нормированного отклонения частоты от опорной $\gamma_f = \frac{f_{\text{iri}} - f_0}{f_0} = \frac{\Delta f}{f_0}$ определяются как

$$\Delta\alpha_f = \alpha - \arcsin\left(\frac{1}{1 + \gamma_f} \sin \alpha\right) \approx \gamma_f \operatorname{tg} \alpha \left(1 - \gamma_f \left(1 + \frac{1}{2} \operatorname{tg}^2 \alpha\right)\right). \quad (7)$$

Зависимость (7) приведена на рис. 3. Для лучей, расположенных под углами $\alpha \leq 45^\circ$ указанную зависимость с достаточной для практики точностью можно считать линейной.

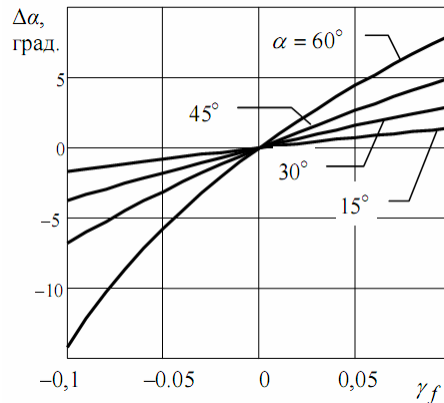


Рис. 3. Зависимость ошибок пеленгации от параметра $\gamma_f = \Delta f / f_0$ для различных угловых положений центрального ограничения

4. ОСНОВНЫЕ ЗАКОНОМЕРНОСТИ И ИХ ОБСУЖДЕНИЕ

На основе результатов численного моделирования можно сформулировать следующие закономерности:

при отклонении частоты ИРИ от опорной максимум зависимости отношения сигнал/мешающий сигнал+шум в суммарном канале смещается по углу пропорционально отклонению частоты ИРИ от опорной; для АМЛАР на базе алгоритма с ограничениями имеет место практически линейная зависимость ошибки оценивания угловых координат ИРИ от отклонения его частоты от опорной, обусловленная

пространственным разносом и соответствующим фазовыми диаграммами направленности приемных элементов АМЛАР;

для обеспечения точной пеленгации полезных сигналов в АМЛАР необходимо использовать комбинированный алгоритм обработки, при котором окончательные оценки угловых координат ИРИ формируются после оценки частоты ИРИ для каждого из лучей с учетом выявленных функциональных зависимостей;

эффективная ширина луча АМЛАР примерно в два раза меньше, чем ширина луча МЛАР с той же геометрией; в АМЛАР для перекрытия заданного углового сектора требуется, как минимум, удвоение числа формируемых лучей в сравнении с МЛАР без адаптивной обработки.

широкополосность АМЛАР фактически ограничивается величиной отклонения частоты, при которой происходят существенные изменения амплитудной диаграммы направленности приемных элементов АМЛАР.

5. ЗАКЛЮЧЕНИЕ

Полученные результаты могут быть использованы при обосновании параметров и алгоритмов функционирования адаптивных многолучевых антенных решеток средств радиомониторинга.

ЛИТЕРАТУРА

1. Козлов С. В., Гриб В.Н. Технические и алгоритмические решения по созданию адаптивных приемных многолучевых антенных решеток средств радиомониторинга // Радиотехника, 2015, № 12. – С. 80–88.
2. Карпухин В.И., Козлов С. В., Сергеев В.Н. Особенности и характеристики моноимпульсных радиолокационных измерителей угловых координат с пространственной компенсацией помех // Радиотехника, 2009, № 6. – С. 69–74.
3. Хансен Р.С. Фазированные антенные решетки. 2-е изд. М.: Техносфера. 2012. – 560 с.

REFERENCES

1. Kozlov S. V., Grib V. N. Technical and algorithmic solutions to create adaptive reception multibeam antenna arrays for radio monitoring tools // Radioengineering, 2015, No. 12. – P. 80-88.
2. Karpukhin V. I., Kozlov S. V., Sergeev V. N. Features and Characteristics of Monoimpulse Radars for Measuring Angular Coordinates with Spatial Noise Compensation // Radioengineering, 2009, No. 6. – P. 69-74.
3. Hansen R. C. Phased array systems. 2nd ed. –M.: Technosphere. 2012. – 560 p.